

«یادداشت تحقیقاتی»

شبیه سازی امواج تیز ایستا با استفاده از روش‌های حجم محدود و تفاضل محدود

ابراهیم علامتیان^۱، محمد رضا جعفرزاده^{۲*}

۱- دانشجوی دکترای عمران- دانشگاه فردوسی مشهد

۲- دانشیار گروه عمران، دانشکده مهندسی- دانشگاه فردوسی مشهد

* مشهد، صندوق پستی ۹۱۸۸۵-۱۱۱۱

jafarzad@um.ac.ir

چکیده- در این مقاله رفتار امواج تیز مورب ایستا در کانال‌های باز به دو روش عددی حجم محدود و تفاضل محدود مطالعه می‌شود. در روش حجم محدود، الگوی ون- لیر با تابع محدود کننده پیشرفتی شبیب، در شبکه‌های بی‌سازمان مثلثی شکل به کار می‌رود. شبیب بستر با استفاده از روش متکی به بالادست و جمله اصلاح شده فشار هیدرولاستاتیک مدل‌سازی می‌شود. از رابطه مانینگ برای شبیه‌سازی اصطکاک بستر و از تئوری طول اختلاط برای مدل‌سازی تلاطم استفاده می‌شود. در روش تفاضل محدود الگوی مک‌کورمک دو گامی با الگوریتم لزجت مصنوعی جیمسون اعمال می‌شود. از هر دو روش برای مطالعه امواج موربی که از برخورد جریان فوق بحرانی با مانع عرضی در کانال تولید می‌شوند، استفاده شده است. مقایسه نتایج عددی و اندازه‌گیری‌های آزمایشگاهی نشان می‌دهد که هر دو مدل به خوبی توانایی شبیه‌سازی لبه تیز امواج ایستا را دارند؛ اما روش ون- لیر با نتایج آزمایشگاهی سازگاری بیشتری دارد.

کلید واژگان: معادلات آبهای کم عمق، حل کننده‌های ریمن، روش ون- لیر، روش مک‌کورمک، امواج تیز ایستا.

موقعیت و مشخصات امواج تیز ایستا پس از دائمی شدن جریان بدون تغییر باقی می‌ماند. پرش هیدرولیکی و امواج تیز مورب تولید شده در تبدیل‌ها به عنوان امواج تیز ایستا طبقه‌بندی می‌شوند. هنگامی که جریان فوق بحرانی در کانال باز با یک مانع عرضی برخورد می‌کند، تراز آب در پشت مانع بالا می‌آید. در پایین‌دست، جریان رها می‌شود

۱- مقدمه
موج تیز^۱ در کانال‌های باز، از تغییر ناگهانی مشخصات جریان به وجود می‌آید. امواج تیز به دو دسته امواج تیز پویا و امواج تیز ایستا تقسیم بندی می‌شوند. موقعیت و مشخصات امواج تیز پویا با زمان تغییر می‌کند، اما

1. Shock Wave

شده است. در روش‌های پیشرفته حجم محدود از نوع گودونوف برای دست یافتن به دقت مرتبه بالاتر و در عین حال حذف نوسانهای کاذب در محل ناپیوستگی‌ها از محدودکننده‌های شار یا شبیه‌استفاده می‌شود. به این روش‌ها، روش‌های کاهشی مجموع تغییرات گفته می‌شود (Leveque, 2004).

در این تحقیق عملکرد روش حجم محدود ون-لیر و روش تفاضل محدود مک‌کورمک در شبیه‌سازی امواج تیز مورب ایستای ناشی از وجود مانع عرضی در جریان فوق بحرانی کانال‌های باز بررسی می‌شود. در انتهای برای اطمینان از صحت کار، نتایج عددی با اطلاعات به دست آمده از یک فلوم آزمایشگاهی مقایسه می‌شود.

۲- معادلات آبهای کم عمق

معادلات آبهای کم عمق، با فرض اولیه توزیع فشار هیدرواستاتیکی و همچنین سیال غیر قابل تراکم، از متوسط‌گیری معادلات سه بعدی ناویر-استوکس در عمق حاصل می‌شود. این معادلات، برای مطالعه بسیاری از پدیده‌های فیزیکی مانند شکست سد، جریان در کانال‌های باز، امواج سیالی، نیروهای عمل کننده بر سازه‌های ساحلی و انتقال آلودگی به کار می‌روند. شکل دو بعدی و ابتدایی این معادلات به صورت زیر است (Cea, 2005):

$$\frac{\partial W}{\partial t} + \frac{\partial F_x}{\partial x} + \frac{\partial F_y}{\partial y} = \sum_{k=1}^3 G_k$$

$$W = \begin{pmatrix} h \\ q_x \\ q_y \end{pmatrix}; \quad F_x = \begin{pmatrix} q_x \\ \frac{q_x^2}{h} + \frac{gh^2}{2} \\ \frac{q_x q_y}{h} \end{pmatrix}; \quad F_y = \begin{pmatrix} q_y \\ \frac{q_x q_y}{h} \\ \frac{q_y^2}{h} + \frac{gh^2}{2} \end{pmatrix} \quad (1)$$

در این رابطه g شتاب جاذبه، W بردار متغیرهای ابتداء، q_x و q_y دبی در واحد عرض، F_x و F_y بردارهای شار به ترتیب در جهت‌های x و y و G_k بردار جملات

و مؤلفه سرعت درجهت عمود بر محور کanal موجب برخورد جریان به دیوارها و در نتیجه تولید و تکثیر امواج تیز مورب ایستا می‌شود.

بسیاری از مدل‌های هیدرودینامیکی برای شبیه‌سازی جریان در رودخانه‌ها، دریاها و مخازن سدها بر اساس روش تفاضل محدود نوشته شده است (DHI, 1998). در حل صریح مدل‌های عددی مرتبه دوم، در محل‌هایی که گرادیان متغیرها زیاد است، نوسانهایی کاذب ایجاد می‌شود. برای حذف این نوسانها می‌توان از مفهوم لزجت مصنوعی^۱ و معادلات اصلاح شده استفاده کرد. این روش در حل معادلات آبهای کم عمق به کار برده شده است، (Rahman and Chaudhry, 1997) روش‌های کاهش تغییرات کل^۲ نیز برای حذف نوسانها استفاده می‌شود (Wang et al., 2000).

در روش‌های حجم محدود به علت استفاده از شکل انتگرالی معادلات، می‌توان از شبکه محاسباتی با اجزای نامنظم نیز استفاده کرد. در این روش‌ها، بخش اصلی کار، تعیین شار عمودی عبوری از هر وجه جزء محاسباتی است. هنگامی که ناپیوستگی منفردی در یک نقطه از قلمروی جواب وجود دارد به آن مسئله ریمن گفته می‌شود. حل کننده‌های ریمن با سود جستن از تئوری مشخصات، به شکل مطلوبی توانایی شبیه‌سازی ناپیوستگی‌هایی مانند موج شاک را دارند. بعضی از روش‌های حل تقریبی مسئله ریمن عبارتند از: Steger and Zhao et al., (1993), Yang and Hsu (1993), Warning (1981) و دیگران توسعه داده شده و روش‌های تجزیه Roe et al. (1981) که توسط (1981) توسعه داده اختلاف شار^۳ که توسط

1. Artificial Viscosity
2. Total Variation Diminishing, TVD
3. Flux Vector Splitting Methods
4. Flux Difference Splitting Methods

سلول‌های مثلثی با استفاده از روش MUSCL بازسازی می‌شود (شکل ۱). در این کار از محدودکننده شیب چندبعدی استفاده می‌شود (Yoon and Kang, 2004).

۴- جمله چشم‌های شیب و اصطکاک بستر

برای محاسبه جمله چشم‌های شیب بستر از رابطه متکی به بالادست استفاده می‌شود. برای این کار مانند روش محاسبه شار عبور کننده از وجوده سلول در روش ون-لیر عمل می‌شود. برای اعمال شرط توزیع هیدرواستاتیک فشار، جمله چشم‌های شیب بستر اصلاح و برای محاسبه جمله چشم‌های اصطکاک بستر از رابطه مانینگ استفاده می‌شود (Cea et al., 2007).

۵- جمله چشم‌های اثرهای تلاطمی

با انتگرال‌گیری از جمله اثرهای تلاطمی در معادله ممتد در راستای x (جمله دوم بردار G_3 در رابطه (۲)) بر سطح سلول و اعمال قضیه گوس داریم (Jia, 1999):

$$\int_{C_i} \frac{\partial}{\partial x} \left(v h \frac{\partial U_x}{\partial x} \right) + \frac{\partial}{\partial y} \left(v h \frac{\partial U_x}{\partial y} \right) dA \approx \sum_{j \in K_i} v_{ij} h_{ij} \left(\frac{\partial U_x}{\partial x} \bar{n}_x + \frac{\partial U_x}{\partial y} \bar{n}_y \right)_{ij} L_{ij} \quad (4)$$

در این رابطه $(\bar{n}_x, \bar{n}_y) = (\bar{n}_x, \bar{n}_y)$ بردار یکه عمود بر هر وجه سلول، K_i تعداد وجوده سلول C_i (در سلول C_i متشی ۳) و L_{ij} طول وجه مشترک دو سلول C_i و C_j است. برای محاسبه مقدار متغیرها و گرادیان‌ها در

مرز سلول‌ها از روش مرکزی استفاده می‌شود:

$$v_{ij} = \frac{v_i + v_j}{2} ; \quad h_{ij} = \frac{h_i + h_j}{2} ; \quad (\nabla U_x)_{ij} = \frac{(\nabla U_x)_i^l + (\nabla U_x)_j^l}{2} \quad (5)$$

که در آن ∇_i^l گرادیان محدود شده متغیرها در سلول i است.

چشم‌های G_1 و G_2 به ترتیب جملات چشم‌های شیب و اصطکاک بستر و G_3 جمله چشم‌های اثرات تلاطمی است:

جملات چشم‌های به صورت زیر بیان می‌شوند:

$$G_1 = \begin{pmatrix} 0 \\ -gh \frac{\partial Z_b}{\partial x} \\ -gh \frac{\partial Z_b}{\partial y} \end{pmatrix}; \quad G_2 = \begin{pmatrix} 0 \\ -\frac{\tau_{b,x}}{\rho} \\ -\frac{\tau_{b,y}}{\rho} \end{pmatrix};$$

$$G_3 = \begin{pmatrix} 0 \\ \frac{\partial}{\partial x} \left(vh \frac{\partial U_x}{\partial x} \right) + \frac{\partial}{\partial y} \left(vh \frac{\partial U_x}{\partial y} \right) \\ \frac{\partial}{\partial x} \left(vh \frac{\partial U_y}{\partial x} \right) + \frac{\partial}{\partial y} \left(vh \frac{\partial U_y}{\partial y} \right) \end{pmatrix} \quad (2)$$

که در آن U_x و U_y به ترتیب سرعت جریان در جهت محورهای x و y ، v لزجت گردابه‌ای، τ_b تنش برشی در بستر و Z_b تراز بستر کanal در مرکز سلول است.

۳- حل عددی معادلات به روش حجم محدود

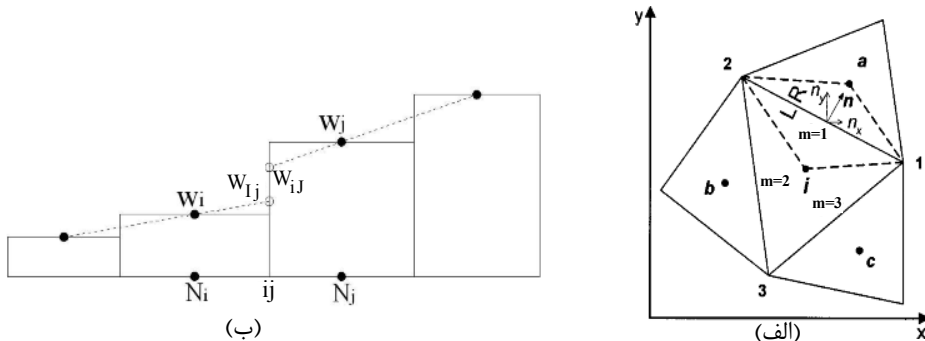
با انتگرال‌گیری از سیستم معادلات (۱) در زمان و ساده‌سازی روابط، معادلات زیر به دست می‌آید. استفاده از این معادلات دقت مرتبه دوم در زمان را به دست می‌دهد (Cea, 2005):

$$W^{n+\frac{1}{2}} = W^n - \frac{\Delta t}{2} \left(\frac{\partial F_x(W^n)}{\partial x} + \frac{\partial F_y(W^n)}{\partial y} \right) + \frac{\Delta t}{2} \sum_{k=1}^3 G_k^n$$

$$W^{n+1} = W^n - \Delta t \left(\frac{\partial F_x(W^{n+\frac{1}{2}})}{\partial x} + \frac{\partial F_y(W^{n+\frac{1}{2}})}{\partial y} \right) + \frac{\Delta t}{2} \sum_{k=1}^3 G_k^{n+\frac{1}{2}} \quad (3)$$

در این رابطه Δt گام زمانی است. برای جداسازی معادلات در مکان از مدل متکی به بالادست^۱ ون-لیر استفاده می‌شود (Cea, 2005). برای رسیدن به دقت مرتبه دوم در روش ون-لیر مقادیر متغیرهای بقا در مرز

1. Upwind Scheme



شکل ۱ بازسازی اطلاعات در روی مرز سلول‌ها

$$W_{i,j}^{n+1} = .5(W_{i,j}^n + W_{i,j}^{**}) \quad (8)$$

روش فوق دارای دقت مرتبه دوم در مکان و زمان بوده و باعث پخش خطاهای فاز و دامنه در فضای حل می‌شود. توزیع خطاهای فاز در محل‌هایی که گرادیان متغیرها زیاد است نوسانهایی را به وجود می‌آورد. در این تحقیق با استفاده از روش جیمسون مقادیر متغیر وابسته در هر گام زمانی در هر گره اصلاح شده است (Rahman, and Chaudhry, 1997).

۷- مدل آزمایشگاهی

در تحقیق حاضر برای گردآوری داده‌های تجربی از فلوم آزمایشگاه هیدرولیک دانشکده مهندسی دانشگاه فردوسی مشهد استفاده شد (شکل ۲). طول فلوم $L = 8m$ ، عرض آن $B = 0.4m$ و ارتفاع دیوار کanal برابر $H = 0.5m$ است. شیب طولی کanal $S = 0.00624$ و زبری آن $n = 0.0104$ اندازه‌گیری شد.

۸- کاربرد روش‌های عددی

به منظور ارزیابی روش‌های عددی مذکور، جریان در کanal با وجود مانع عرضی، مطابق شکل ۳ شبیه‌سازی شد. در این شکل موقعیت مقاطع طولی (A-A)، (B-B) و (C-C) که به ترتیب در فاصله ۰.۱، ۰.۲ و ۰.۳ متر از دیواره کanal قرار دارند نشان داده شده است.

در این تحقیق از مدل طول اختلاط^۱ برای محاسبه لزجت گردابهای استفاده می‌شود (Cea et al., 2007). به صورت مشابه جمله اثرهای تلاطمی در معادله ممنتم در راستای u محاسبه می‌شود.

۶- حل عددی معادلات به روش تفاضل محدود

برای حل معادلات دیفرانسیل آبهای کم عمق به روش تفاضل محدود از الگوی مک‌کورمک دو گامی استفاده می‌شود (Anderson et al., 1984). این الگو متشکل از یک زنجیر دو مرحله‌ای پیش‌بینی کننده- تصحیح کننده است. معادلات جداسازی شده تفاضل محدود بصورت زیر است:

پیش‌بینی کننده:

$$W_{i,j}^* = W_{i,j}^n - \frac{\Delta t}{\Delta x} \nabla_x F_{x_{i,j}}^n - \frac{\Delta t}{\Delta y} \nabla_y F_{y_{i,j}}^n - \Delta t G_{i,j}^n \quad (6)$$

تصحیح کننده:

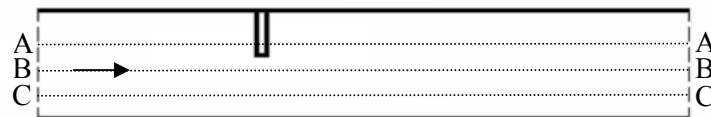
$$W_{i,j}^{**} = W_{i,j}^n - \frac{\Delta t}{\Delta x} \Delta_x F_{x_{i,j}}^* - \frac{\Delta t}{\Delta y} \Delta_y F_{y_{i,j}}^* - \Delta t G_{i,j}^* \quad (7)$$

که در این روابط $W_{i,j}^*$ و $W_{i,j}^{**}$ مقادیر میانی متغیر W در نقطه (i,j) (Δx و Δy) گام مکانی در جهت محور x و y (∇_x و ∇_y) به ترتیب عملگرهای پیشرو و پسرو در جهت محور x و y است. مقدار متغیر W در گام زمانی $n+1$ از رابطه زیر به دست می‌آید:

1. Mixing Length



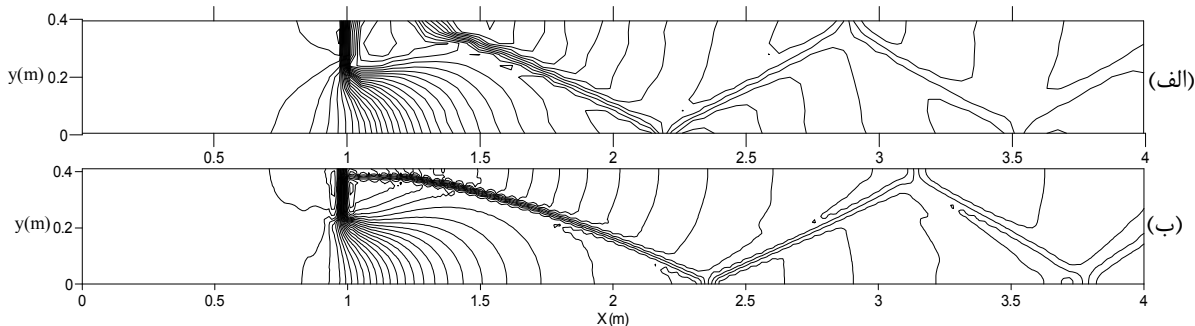
شکل ۲ فلوم آزمایشگاهی



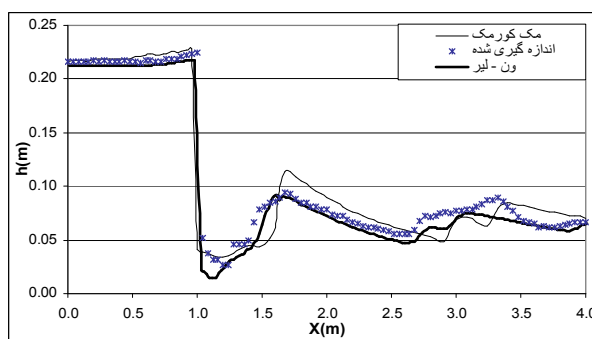
شکل ۳ کروکی کanal و مقاطع مورد استفاده در مسئله

عمق در کانال نشان داده شده است. اختلاف فاز شوک‌های حاصل از دو روش عددی با یکدیگر در شکل مشخص است. به علاوه در پایین دست مانع، روش مک‌کورمک نتوانسته به خوبی جریان گردابه‌ای را شبیه‌سازی کند. در شکلهای ۵ و ۶ پروفیل سطح آب در مقاطع (A-A) و (C-C) ترسیم شده است. همان‌طور که به صورت کیفی مشاهده می‌شود، مدل‌های عددی مورد استفاده بخوبی توانایی شبیه‌سازی جریان را داشته و نتایج همخوانی مناسبی با داده‌های آزمایشگاهی دارند. نمودارها نشان می‌دهند که روش ون-لیر نسبت به روش مک‌کورمک دقت بیشتری دارد؛ همچنین پروفیل طولی امواج در این روش هم فازی بیشتری با داده‌های آزمایشگاهی دارد. بررسی دقیق‌تر و ارزیابی کمی نتایج با استفاده از شاخص‌های آماری انجام می‌شود. برای این منظور دو شاخص خطابه‌صورت رابطه (۹) تعریف می‌شود (Zoppou & Roberts, 2003).

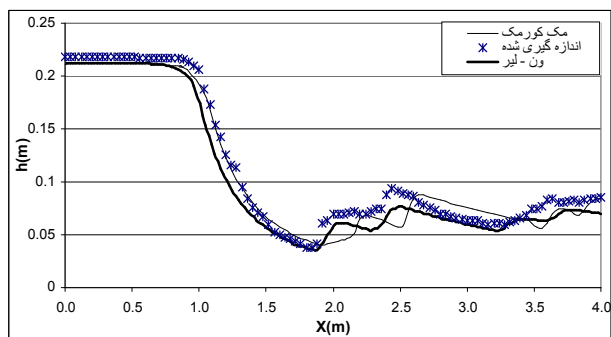
طول کانال در مدل عددی برابر ۴.۰m بود و مانع با عرض ۰.۱۶m در فاصله ۱.۰m از ابتدای کانال قرار داشت. فضای حل در روش حجم محدود ون-لیر به ۸۵۶۰ سلول متشابه بی‌سازمان و در روش تفاضل محدود مک‌کورمک به ۸۰۰۰ گره تقسیم شد. شرایط مرزی جریان در ورودی مبتنی بر پایین دست به وسیله درونیابی مقادیر وابسته (Q_x, Q_y, h) مشخص شد. شرایط مرزی مرزهای جامد در روش ون-لیر با استفاده از تئوری مشخصات (Yoon and Kang, 2004) و در روش مک‌کورمک با روش (Bhallamudi and Chaudhry, 1992) انکاسی تعیین شد. در هر دو روش عددی برای تضمین پایداری، عدد کورانت $C_r = 0.7$ در نظر گرفته شد. عمق نرمال جریان در کانال برابر ۰.۰۸ متر است. به دلیل وجود مانع، عمق آب در بالادست افزایش می‌یابد و در پایین دست بر اثر رها شدن جریان و برخورد جت آب به دیوارها، امواج ضربدری به وجود می‌آید. در شکل ۴ خطوط هم تراز



شکل ۴ خطوط هم تراز عمق الف-روش ون-لیر ب-روش مک کورمک



شکل ۵ پروفیل سطح آب در امتداد A-A



شکل ۶ پروفیل سطح آب در امتداد C-C

امتدادها از روش ون-لیر به دست می‌آید. بنابراین روش مذکور از صحّت محاسباتی بیشتری برخوردار است. به منظور برآذش خطی، اعمق متناظر اندازه‌گیری شده و محاسباتی از روش ون-لیر در امتدادهای A-A و C-C رسم می‌شوند؛ آنگاه بر مجموعه نقاط، خطی برآذش داده می‌شود، (شکل‌های ۷ و ۸).

$$E_1 = \frac{\sum |h_{num} - h_{mes}|}{\sum |h_{mes}|} \times 100 ; E_2 = \frac{\sum (h_{num} - h_{mes})^2}{\sum (h_{mes})^2} \times 100 \quad (9)$$

که در آن h_{num} عمق جریان در مدل عددی و h_{mes} عمق اندازه‌گیری شده آب است. مقادیر پارامترهای بی بعد خطاب برای روشهای مختلف عددی در جدول ۱ در امتدادهای A-A، B-B و C-C درج شده است. همان‌طور که ملاحظه می‌شود کمترین شاخص‌های خطاب در تمامی

جدول ۲ مقادیر ضریب زایه خط برآذش شده بر اطلاعات

$$\text{عددی و آزمایشگاهی} \quad (h_{\text{num}} = ah_{\text{mes}})$$

پارامتر	روش			روش مک‌کورمک			روش ون-لیر		
	A-A	B-B	C-C	A-A	B-B	C-C	A-A	B-B	C-C
a	۰/۹۲	۰/۹۶	۱/۰۵	۰/۹۳	۰/۹۷	۰/۹۶	۰/۹۷	۰/۹۷	۰/۹۷
R^2	۰/۹۷	۰/۹۸	۰/۹۶	۰/۹۹	۰/۹۹	۰/۹۹	۰/۹۷	۰/۹۸	۰/۹۸

۹- نتیجه‌گیری

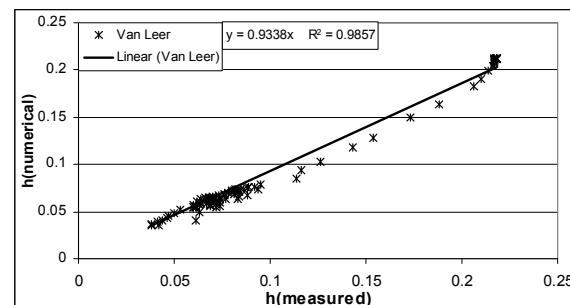
در این مقاله شبیه‌سازی رفتار امواج تیز ایستا با استفاده از معادلات ناماندگار متوسط گرفته شده در عمق آبهای کم عمق بررسی شد. در ابتدا از روش حجم محدود ون-لیر در شبکه بی‌سازمان مثلثی استفاده شد. در قسمت بعدی الگوی تفاضل محدود مک‌کورمک به کار برد. در مقایسه نتایج عددی و آزمایشگاهی مشاهده شد که هر دو مدل ون‌لیر و مک‌کورمک به خوبی می‌توانند به تولید پیشانی تیز امواج ایستا بپردازنند. اما روش ون-لیر دقیق‌تری (با شاخص خطای E_2 حداقل با $0/8$ درصد بیشتری) داشته و به خوبی گردابه پشت مانع را شبیه‌سازی خطای (با شاخص خطای E_2 حداقل با $0/8$ درصد بیشتری) داشته و به خوبی گردابه پشت مانع را شبیه‌سازی می‌کند. بررسی کمی خطایها نیز این مسئله را تأیید کرد.

۱۰- فهرست علائم

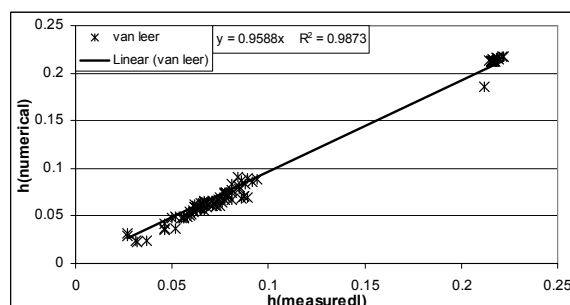
W	بردار متغیرهای ابقا شده
F_x	بردار فلاکس در جهت x
F_y	بردار فلاکس در جهت y
G_1	جمله چشممه شبیب بستر
G_2	جمله چشممه اصطکاک بستر
G_3	جمله چشممه اثرهای تلاطمی
g	شتاب جاذبه
U_x	سرعت جريان در جهت محور x
U_y	سرعت جريان در جهت محور y

جدول ۱ مقایسه شاخص‌های خطای

پارامتر	روش	روش مک‌کورمک			روش ون-لیر		
		A-A	B-B	C-C	A-A	B-B	C-C
E_1		۸/۱۹	۵/۰۹	۹/۷۹	۷/۰۱	۴/۵۷	۵/۹۷
E_2		۰/۸۲	۰/۴۱	۱/۰۶	۰/۷۹	۰/۳۰	۰/۳۸



شکل ۷ مقایسه آماری نتایج در امتداد A-A



شکل ۸ مقایسه آماری نتایج در امتداد C-C

بدیهی است شبیه خط مذکور در صورتی که نتایج عددی و آزمایشگاهی به یکدیگر نزدیک باشند به واحد نزدیک می‌شود. معادله خط برآذش داده شده و ضریب R^2 در همین شکل نشان داده شده است. در جدول ۲ مقادیر ضریب زاویه و ضریب R^2 خطوط برآذش داده شده بر اطلاعات آزمایشگاهی و عددی حاصل از دو روش عددی برای امتدادهای مختلف درج شده است. همان‌طور که ملاحظه می‌شود نزدیک‌ترین ضریب زاویه خط برآذش داده شده به واحد، در هر سه امتداد، از روش ون-لیر به دست می‌آید.

Cea, L., Jeronimo, P.L.C. and Vazquez-Cendon, M.E. (2007). "Depth averaged modelling of turbulent shallow water flow with wet-dry fronts", Arch. Comput. Methods Eng., 14, pp. 303–341.

DHI. MIKE21C. (1998). User guide and scientific documentation. Danish Hydraulic Institute, Denmark.

Jia, Y. and Wang, S.S.Y. (1999). "Numerical model for channel flow and morphological change studies", Journal of Hydraulic Engineering , 125(9), pp. 924–933.

Leveque, R. J. (2004). "Finite volume methods for hyperbolic problems", Cambridge University Press.

Rahman, M. and Chaudhry, M. H. (1997). "Computation of flow in open-channel transitions", Journal of Hydraulic Research. 35, pp. 242-256.

Roe, P.L. (1981). "Approximate Riemann solvers, parameter vectors and difference schemes", Journal of Computational Physics, 135, pp. 357-372.

Steger, J. and Warning, R. (1981). "Flux vector splitting of inviscid gas dynamic equations with applications to finite difference methods", Journal of Computational Physics, 40, pp. 263-293.

Wang, J.S., Ni, H.G. and He, Y.S. (2000). "Finite difference TVD scheme for computation of dam break problems", Journal of Hydraulic Engineering, 126(4), pp. 253-262.

Yang, J. and Hsu, C. (1993). "Computation of free surface flows", Journal of Hydraulic Research, 31(3), pp. 403-413.

Yoon, T. H. and Kang, S. (2004). "Finite volume model for two-dimensional shallow water flows on unstructured grids", Journal of Hydraulic Engineering, 130(7), pp. 678-688.

Zhao, D.H., Shen, H.W., Lai, J.S. and Tabios, G.Q. (1996). "Approximate Riemann solvers in FVM for 2D hydraulic shock wave modeling", Journal of Hydraulic Engineering, 122(12), pp. 692–702.

Zoppou, C. and Roberts, S. (2003). "Explicit schemes for dam-break simulations", Journal of Hydraulic Engineering, 129(1), pp. 11-34.

v	لزجت گردابهای
τ_b	تنش برشی در بستر
Z_b	تراز بستر کanal در مرکز سلول
Δt	گام زمانی
C_i	سلول شماره i
$t^{n+1}, t^{n+\frac{1}{2}}, t^n$	زمان
W_i^n	مقدار متغیر در مرکز سلول i زمان t^n
$\bar{n} = (\bar{n}_x, \bar{n}_y)$	بردار یکه عمود بر وجه
K_i	تعداد وجود سلول i
L_{ij}	طول وجه مشترک دو سلول i و j
∇_i^1	گرادیان محدود شده متغیرها در سلول i
h_{num}	جریان در مدل عددی
h_{mes}	عمق اندازه گیری شده
$E_2 \cdot E_1$	شاخص خطأ
R^2	ضریب تعیین
C_r	عدد کورانت
$W_{i,j}^n$	مقدار متغیر در نقطه (i,j) در زمان t^n
$W_{i,j}^{**} \cdot W_{i,j}^*$	مقدار متغیر W در گام میانی

۱۱- منابع

Anderson, D. A., Tannehill, J. D. and Pletcher, R. H. (1984). "Computational fluid mechanics and heat transfer", McGraw-Hill, New York.

Bhallamudi, S. M. and Chaudhry, M. H. (1992). "Computation of flow in open-channel transitions", Journal of Hydraulic Research, IAHR. V. 30, pp. 77-93.

Cea, L. (2005). "An unstructured finite volume model for unsteady turbulent shallow water flow with wet-dry fronts, numerical solver and experimental validation", Doctoral Thesis, Departamento de Metodos Matematicos de Representacion, Universidad de A Coruna.